

**MINISTERIO DE INDUSTRIA**

**Y**

**ENERGIA**

**INSTITUTO TECNOLOGICO GEOMINERO DE ESPAÑA**

**MAPA GEOLOGICO DE ESPAÑA**

**ESCALA 1:50.000**

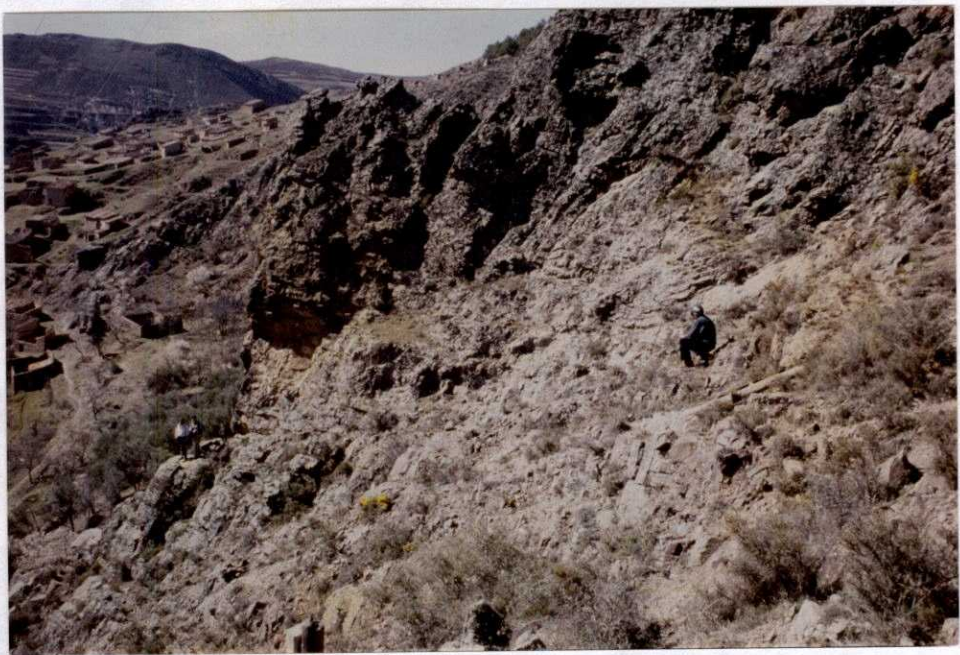
**ALBUM FOTOGRAFICO DE LA HOJA**

**408 (24-16)**

**TORRIJO DE LA CAÑADA**

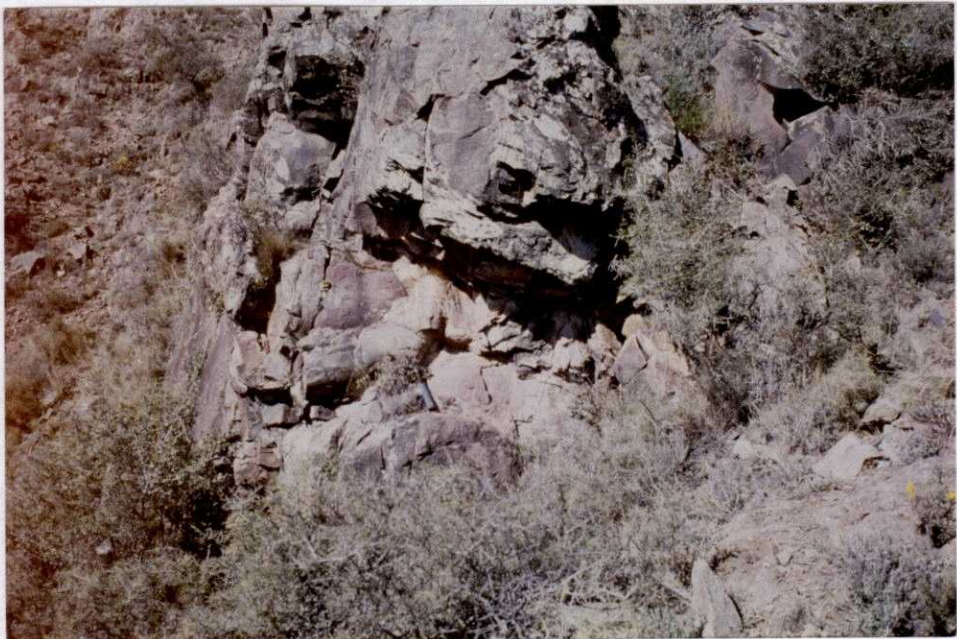
**Noviembre-1988**





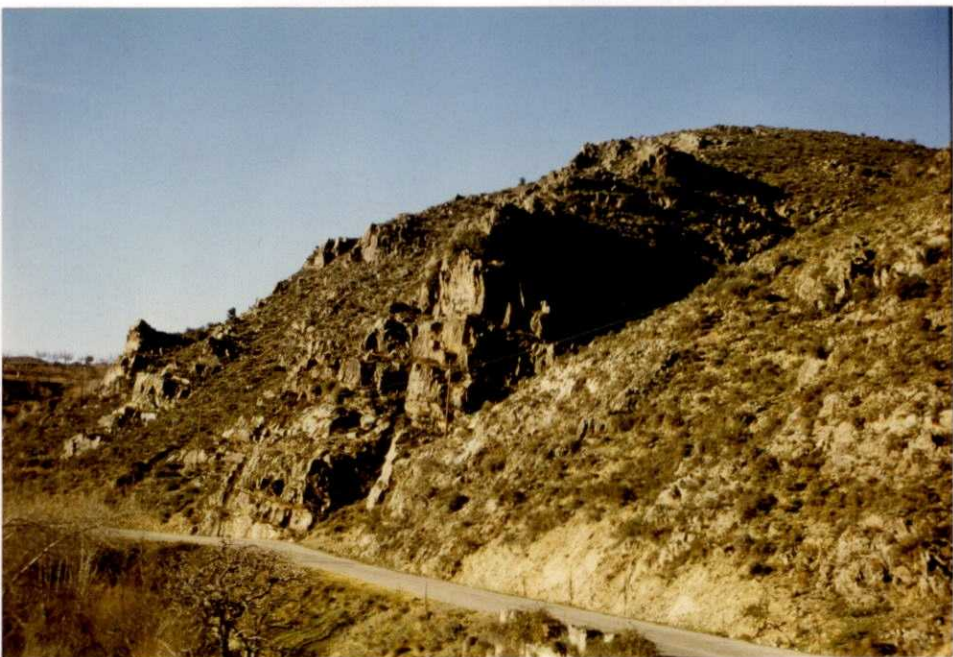
**9300 F**

Fm. Bámbola al N. de Torrijo de la Cañada.



**9301 F**

Fm. Bámbola. Detalle.



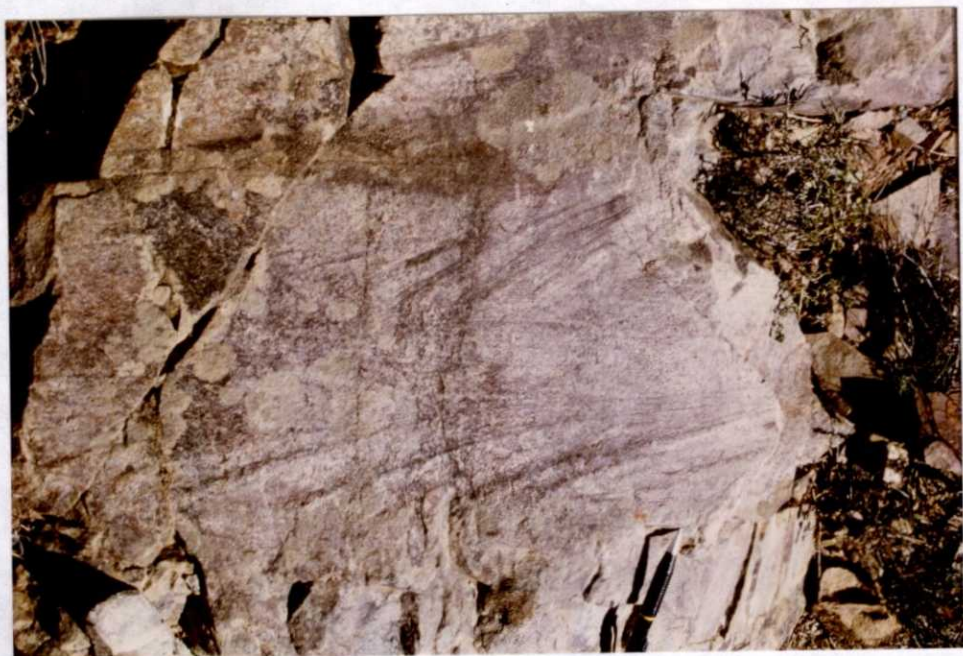
**9302 F**

Fm. Bámbola Km. 4 carretera Torrijo-Borobia.



**9303 F**

Fm. Bámbola. Detalle.



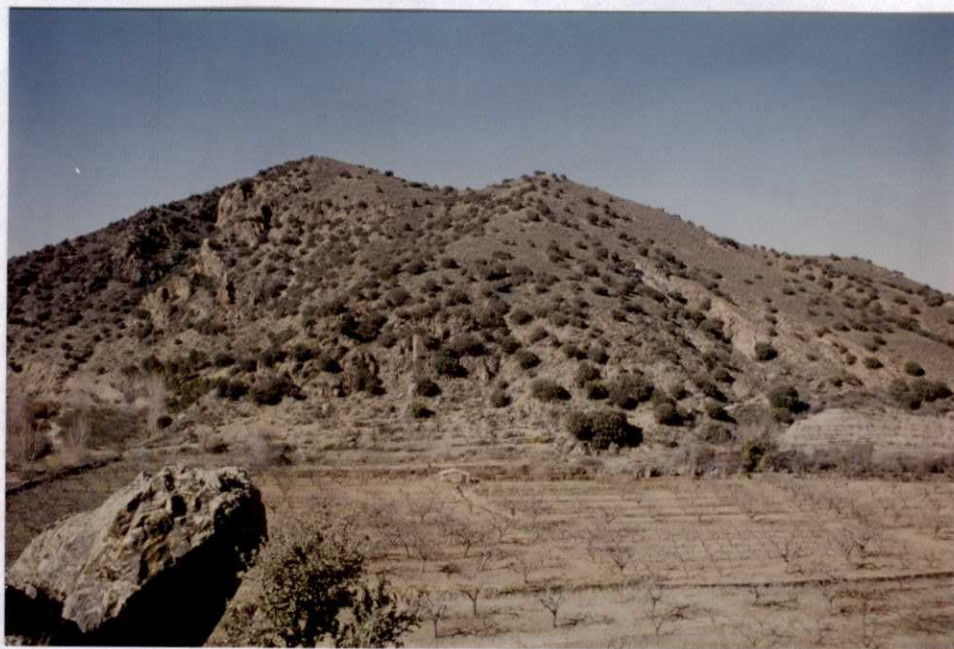
9304 F

Fm. Bámbola. Herring-Bone.



9305 F

Fm. Bámbola. Detalle.



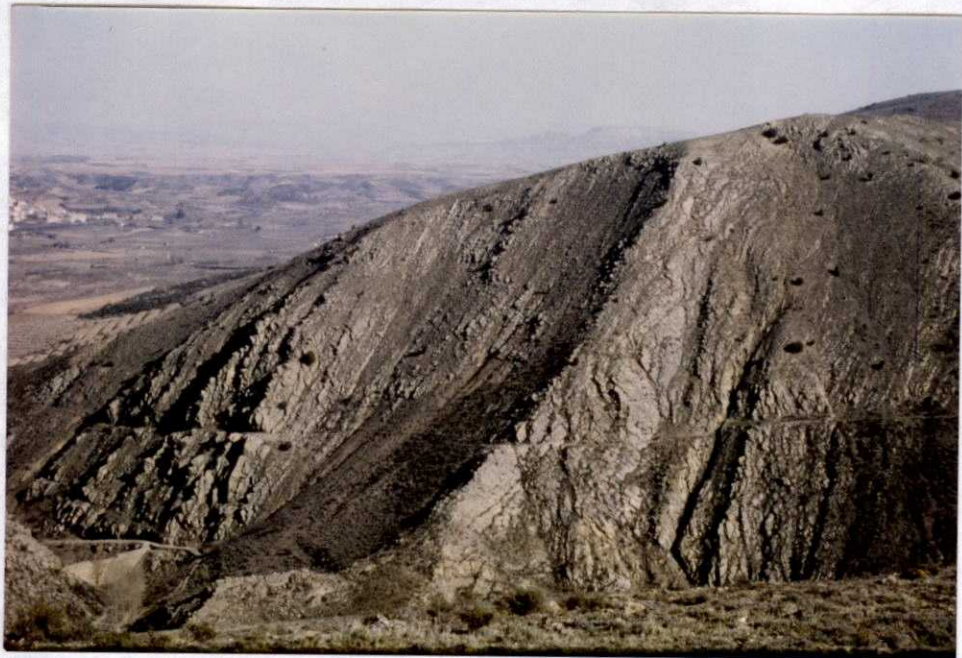
**9306 F**

Fms. Embid-Ribota. Pista de Carramazán.



**9307 F**

Base de la Fm. Embid. Pista de Carramazán.



**9308 F**

Fm. Embid. Vista general.



**9309 F**

Fm. Embid. Detalle de las turbiditas.



**9310 F**

Fm. Embid. Humocky en el Barranco de Carabán.



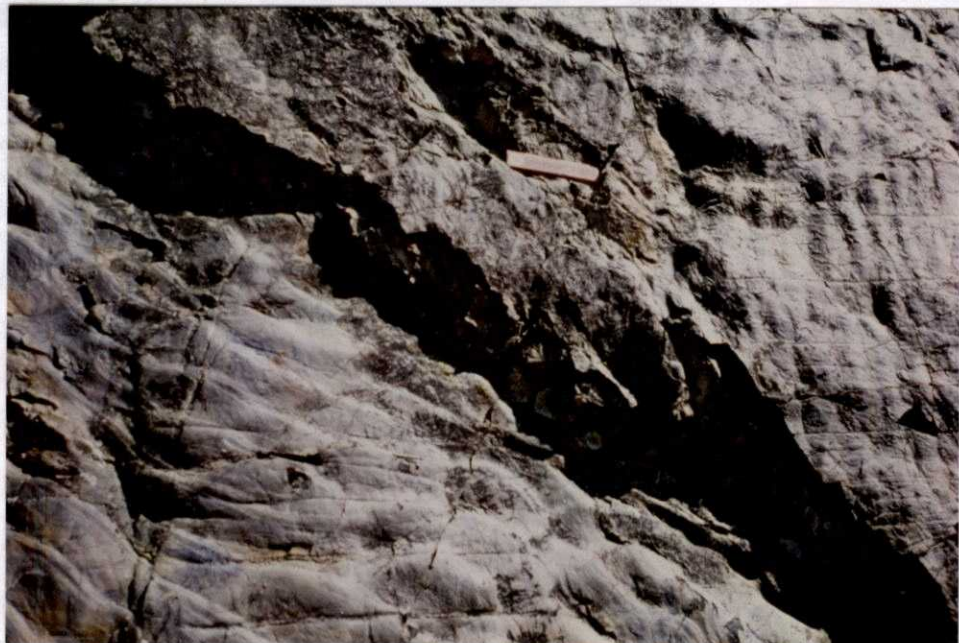
**9311 F**

Fm. Embid. Astropolithon hispanicus.



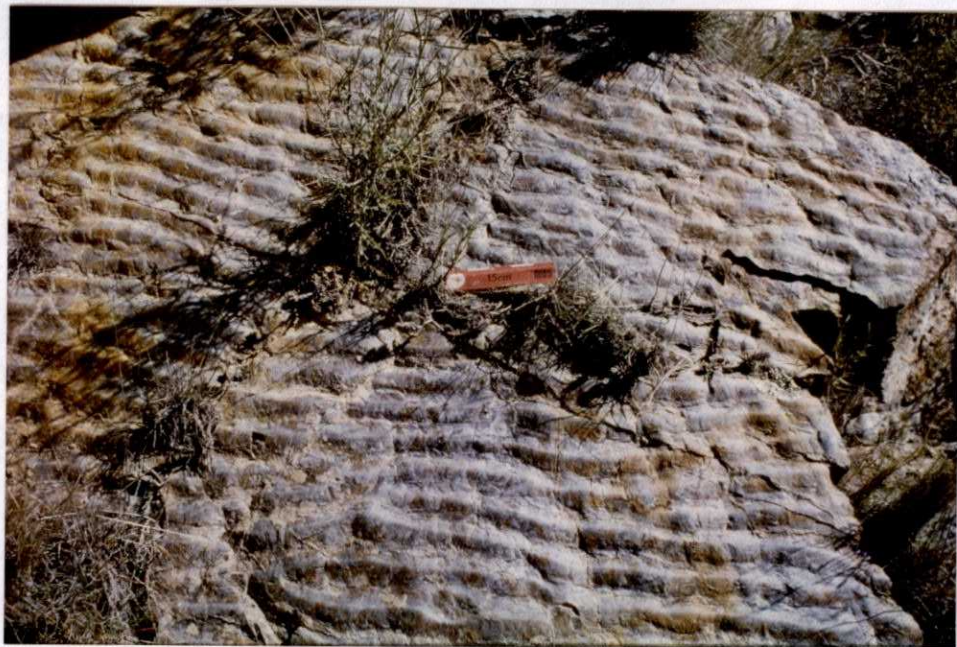
**9312 F**

Fm. Embid. Astropolithon hispanicus.



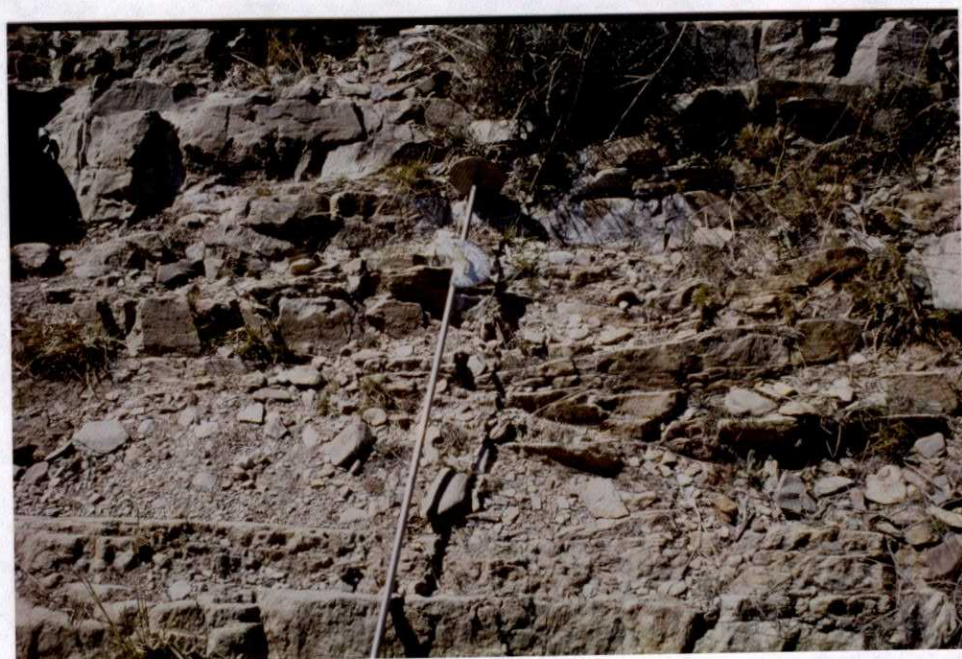
**9313 F**

Fm. Embid. Interferencia de ripples.



**9314 F**

Fm. Embid. Barranco de Carabán.



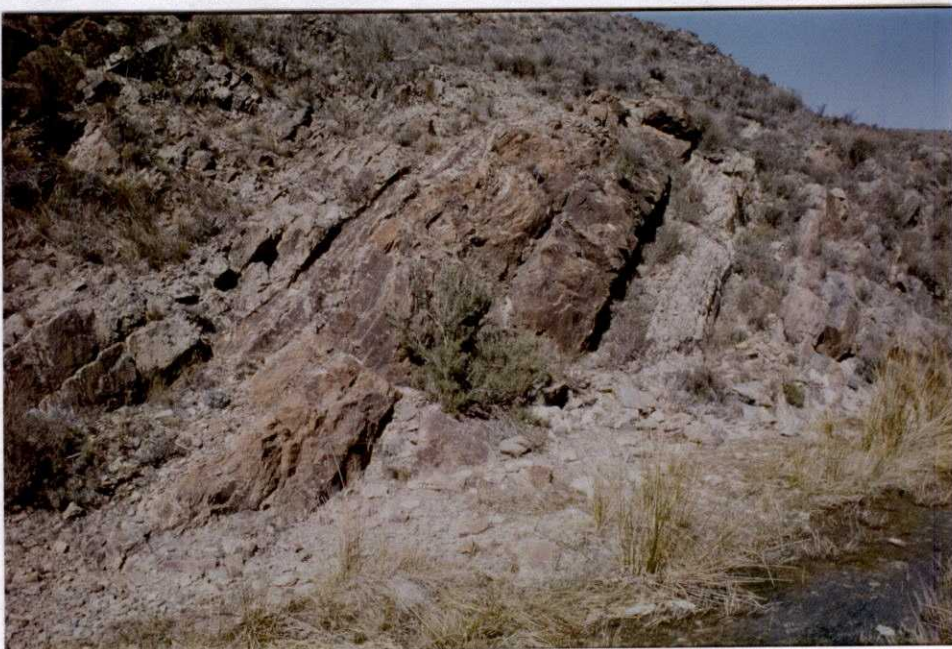
**9315 F**

Fm. Embid. Detalle.



**9316 F**

Fm. Ribota. Detalle.



**9317 F**

Fm. Ribota. Vista general. Bco. de Cocanil.



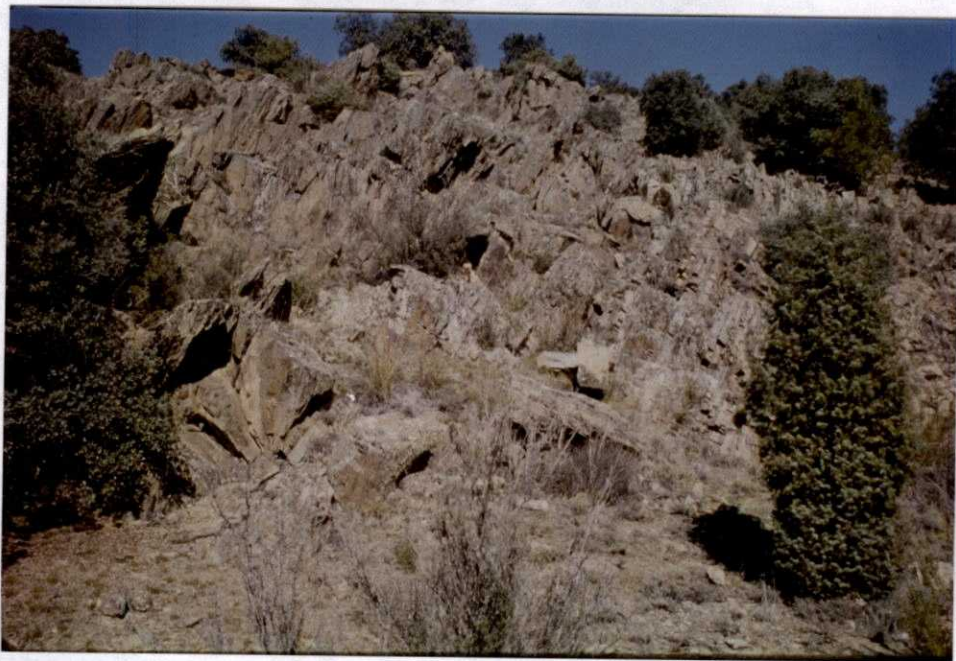
**9318 F**

Fm. Ribota. Barranco de Cocanil.



**9319 F**

Fm. Areniscas de Daroca.



**9320 F**

Fm. Arenisca de Daroca. Depósitos de "Fan Fringe".



**9321 F**

Fm. Areniscas de Daroca. Detalle de la foto anterior.



9322 F

Cabalgamiento del Paleozóico sobre las F. Buntsandstein. Collado Valdesornil.

\*SIN UBICACIÓN EN EL PLANO DE SITUACIÓN DE MUESTRAS,  
NO HAY MCC1.



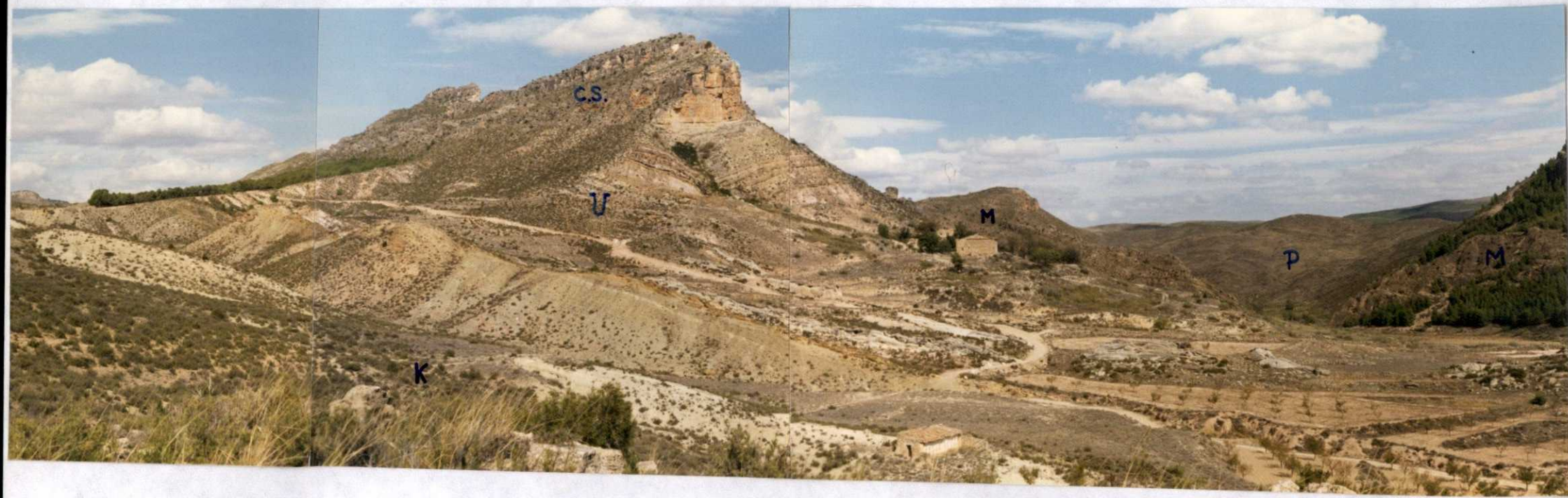
9323 F

Cabalgamiento de las F. Buntsandstein sobre Terciario.



**9324 F**

Vista general del cabalgamiento de la foto anterior del Collado Valdesornil.



9325 [REDACTED] F

Panorámica en la zona de la Ermita de Sta. Quiteria. P: Paleozóico. M: Muschelkalk. K: Keuper. U: Utrillas. C.S.: Cretácico Superior.



9328 F

Contacto Cretácico-Terciario de S. de Embid de Ariza.



9329 F

Panorámica del abanico de capas del Paleógeno sobre el Cretácico en Embid de Ariza.



9332 [REDACTED] F

Detalle del abanico de capas de la panorámica anterior.



**9334 F**

Panorámica del Paleoceno calcáreo al Sur de Embid de Ariza.



9335 F

Panorámica del contacto Cretácico-Terciario en Embid de Ariza (El nivel blanquecino del centro de la foto es la Fm. dolomías, margas dolomíticas y calizas de Sto. Domingo de Silos).

**9337 F**

Contacto entre la Fm. Calizas con  
cantos negros de Srra. de la Pica y  
los conglomerados del Paleoceno.





**9338 F**

Vista general del anticlinal paleógeno de Cihuela.



**9339 F**

Vista general del paleoceno al norte de Deza.



9340-[REDACTED] F

Panorámica de los niveles calcáreos del Paleoceno al Norte de Deza.



**9343 F**

Detalle de la panorámica anterior.



**9344 F**

Detalle de la panorámica anterior.



**9345 F**

Panorámica de las arcillas rojas del Paleoceno al norte de Deza.



**9346 F**

Detalle de la foto anterior.



9347 F

Panorámica del contacto Cretácico-Terciario en Cihuela.

\*SIN UBICACIÓN EN EL PLANO DE SITUACIÓN DE MUESTRAS,  
NO HAY MCC1.



9348 F

Detalle de la foto anterior.



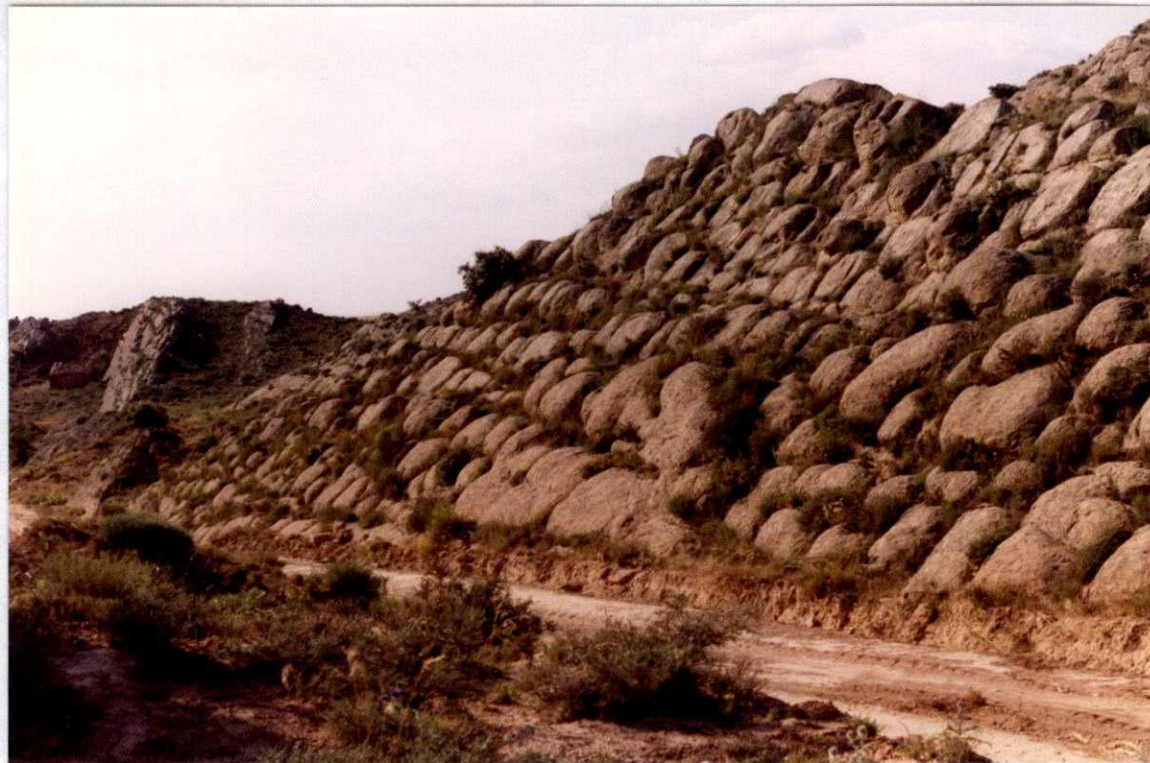
9349 F

Panorámica de los niveles conglomeráticos en abanico de capas al noroeste de Cihuela.



**9351 F**

Detalle de la panorámica anterior.



**9352 F**

Disyunción a partir de un diaclasado en niveles conglomeráticos.



**9353 F**

Arcillas con cantos y niveles de conglomerados de los niveles Mio-plioceno.



**9354 F**

Arcillas con cantos cuarcíticos del Mio-plioceno.

